

---

# La modélisation de la flocculation dans le chemostat

TEWFIK SARI

EPI MERE INRA/INRIA, Montpellier & Université de Mulhouse  
tewfik.sari@uha.fr, tewfik.sari@sophia.inria.fr

En collaboration avec

JÉRÔME HARMAND, CLAUDE LOBRY ET ALAIN RAPAPORT

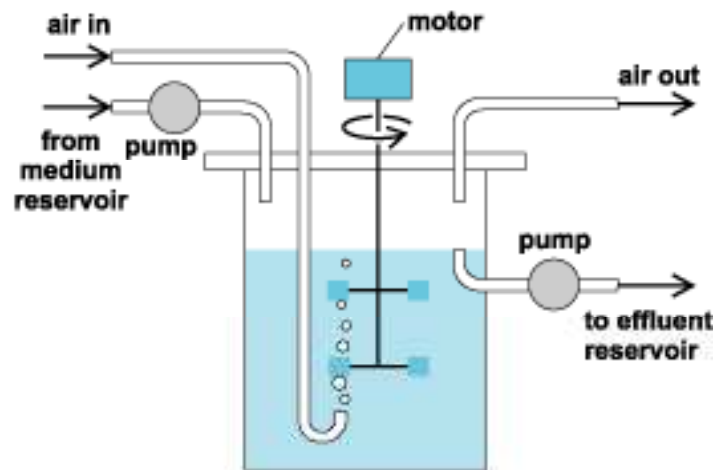
Rencontre **TREASURE**

Tunis, 23-26/11/2010

LAMSIN – ENIT

# Le chemostat : une espèce

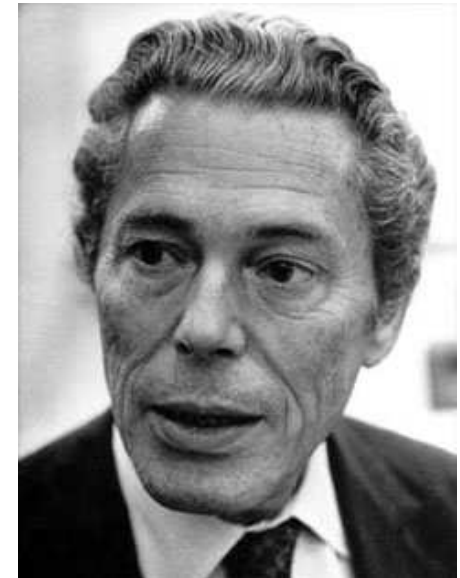
$$\begin{cases} S'(t) &= D[S_{in} - S(t)] - k\mu(S(t))X(t) \\ X'(t) &= [\mu(S(t)) - D]X(t) \end{cases}$$



# Les inventeurs du chemostat

---

- Novick A. and Szilard L. (1950), *Description of the chemostat*. *Science*, 112, 715-716
- Monod, J., *La technique de culture continue theorie et applications*. *Ann. Inst. Pasteur*, 79, 390-410, 1950



# Exemples de cinétiques $\mu$

---

- Linéaire

$$\mu(S) = \alpha S$$

- Monod

$$\mu(S) = \frac{\mu_{max} S}{K + S}$$

- Haldane

$$\mu(S) = \frac{\mu_{max} S}{K + S + S^2 / K_i}$$

# The chemostat : equilibrium point

---

$$\begin{cases} S' &= D(S_{in} - S) - \frac{\mu(S)}{Y}X \\ X' &= (\mu(S) - D)X \end{cases}$$

$$\mu(S) = D \Leftrightarrow S = \mu^{-1}(D)$$

- $E_0 = (S = S_{in}, X = 0)$  (washout)
- $E^* = (S^*, X^*)$ ,  $S^* = \mu^{-1}(D)$  and  $X^* = Y(S_{in} - S^*)$
- $\mu^{-1}(D)$  is called the break-even concentration
- $E^*$  exists and is stable if and only if  $\mu(S_{in}) > D$

# Inhibition by the substrate

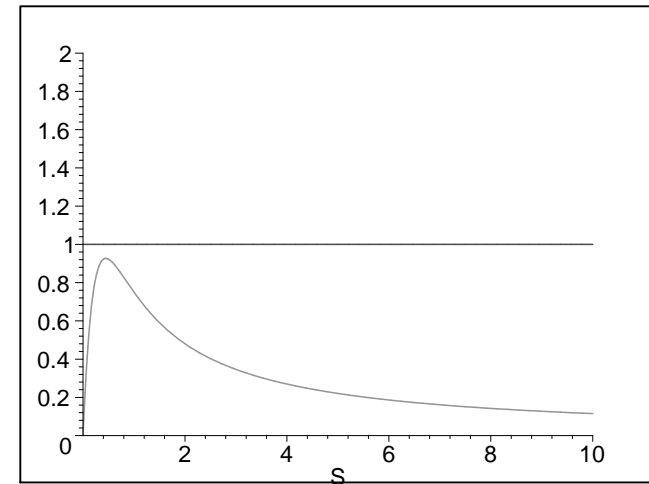
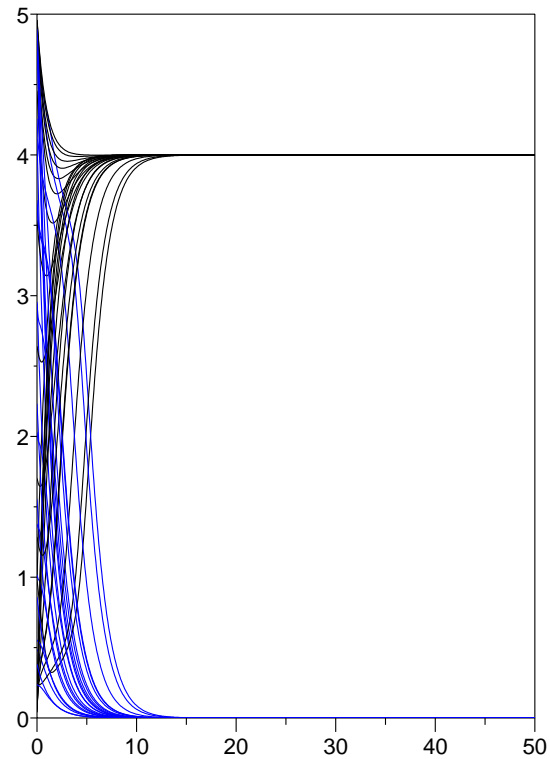
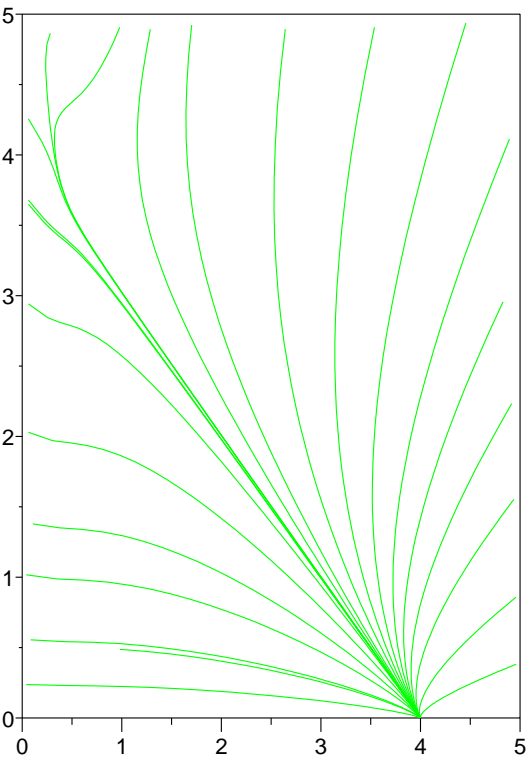
---

$$\begin{cases} S' = D(S_{in} - S) - \frac{\mu(S)}{Y}x \\ x' = (\mu(S) - D)x \end{cases}$$

- $\mu(S) = \frac{mS}{K+S+S^2/K_i}$  is a Haldane function
- equation  $\mu(S) = D$  can have two solutions  $S_1^* < S_2^*$
- $E_1^* = (S_1^*, Y(S_{in} - S_1^*))$  exists if and only if  $S_1^* < S_{in}$ . It is stable.
- $E_2^* = (S_2^*, Y(S_{in} - S_2^*))$  exists if and only if  $S_2^* < S_{in}$ . It is unstable and  $E_0$  is stable.

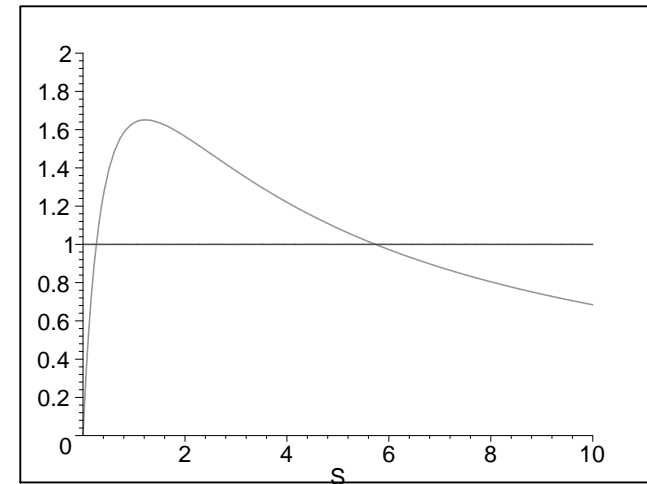
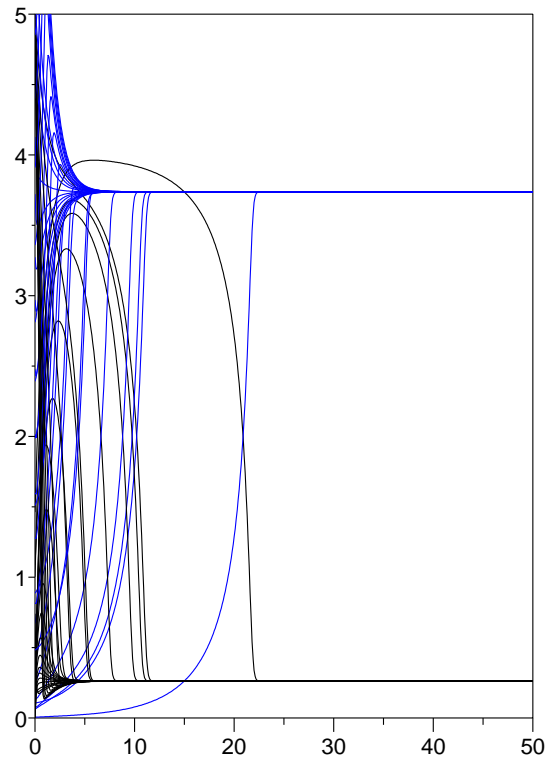
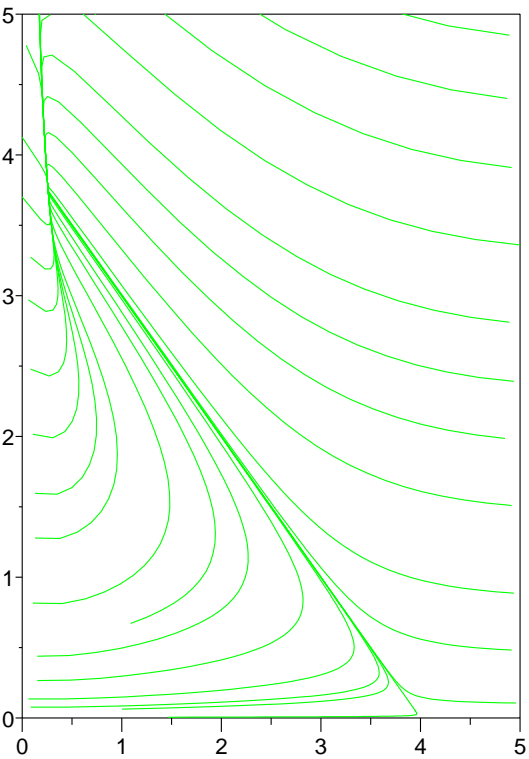
# Inhibition : washout

---



# Inhibition : one equilibrium

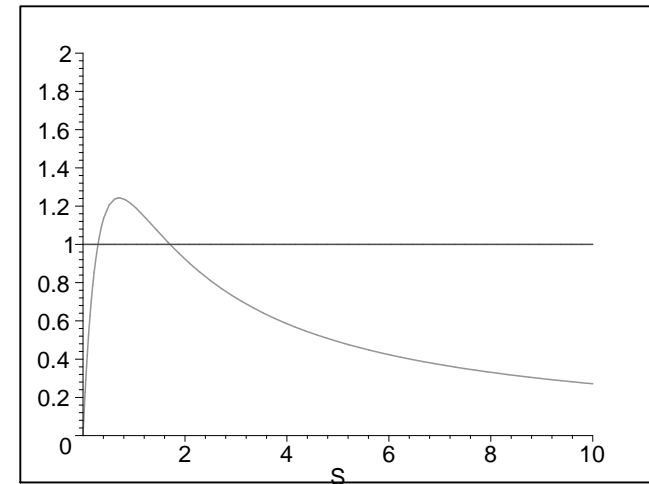
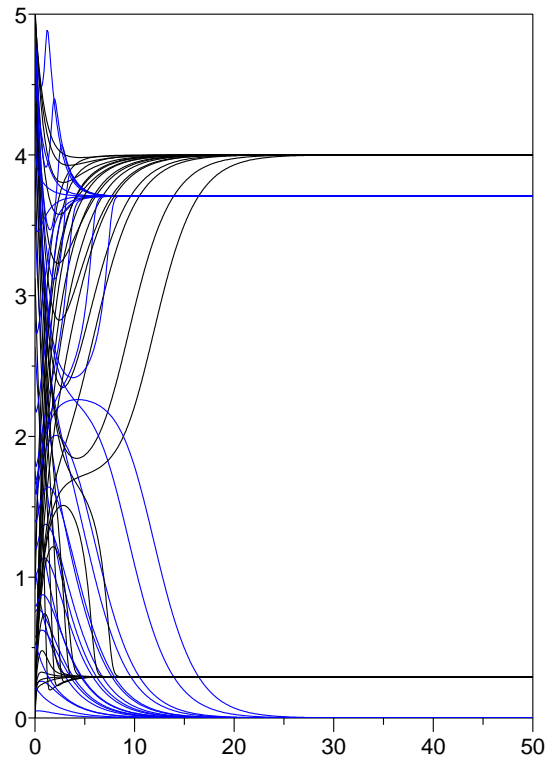
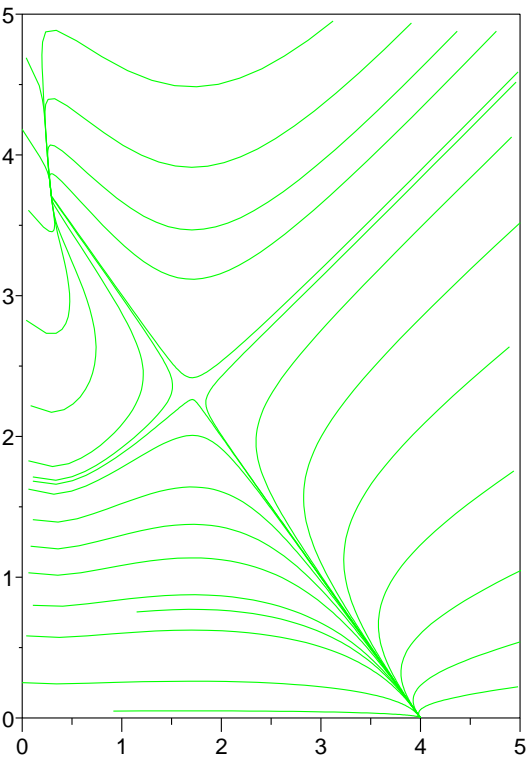
---





# Inhibition : bistability

---

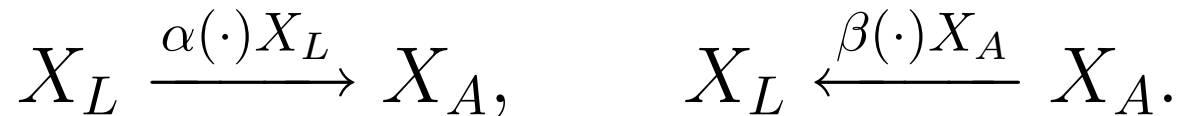


# La flocculation

---

The species is present in two forms: isolated bacteria, of density  $X_L$ , and flocks of bacteria, of density  $X_A$ .

Isolated bacteria and flocks can stick together to form new flocks, with rate  $\alpha(\cdot)X_L$ , and flocks can split and liberate isolated bacteria, with rate  $\beta(\cdot)X_A$ :



$$\begin{cases} \dot{S} &= D_S(S_{in} - S) - \mu_L(S)X_L - \mu_A(S)X_A \\ \dot{X}_L &= (\mu_L(S) - D_L)X_L - \alpha(\cdot)X_L + \beta(\cdot)X_A \\ \dot{X}_A &= (\mu_A(S) - D_A)X_A + \alpha(\cdot)X_L - \beta(\cdot)X_A \end{cases}$$

# Attachement (wall growth)

---

$$\alpha(\cdot) = a, \quad \beta(\cdot) = b$$

$$\begin{cases} \dot{S} &= D_S(S_{in} - S) - \mu_L(S)X_L - \mu_A(S)X_A \\ \dot{X}_L &= (\mu_L(S) - D_L)X_L - aX_L + bX_A \\ \dot{X}_A &= (\mu_A(S) - D_A)X_A + aX_L - bX_A \end{cases}$$

- Pilyugin and Waltman (SIAM Appl. Math., 1999).
- Ce modèle est un cas particulier du modèle de Freter (1983) de l'intestin.

# Modèle de Freter

---

$$\alpha(\cdot) = a[1 - W], \quad \beta(\cdot) = b + \mu_A(S)[1 - G(W)]$$

avec  $W = X_A/X_{A\max}$  et  $G(W)$  décroissante

$$\begin{cases} \dot{S} &= D_S(S_{in} - S) - \mu_L(S)X_L - \mu_A(S)X_A \\ \dot{X}_L &= (\mu_L(S) - D_L)X_L - a(1 - W)X_L \\ &\quad + bX_A + \mu_A(S)[1 - G(W)]X_A \\ \dot{X}_A &= (\mu_A(S)G(W) - D_A)X_A + a[1 - W]X_L \end{cases}$$

- Pour  $X_{A\max} = \infty$  on a  $W = 0$
- si de plus  $G(0) = 1$  on a  $\alpha(\cdot) = a$ ,  $\beta(\cdot) = b$

# Flocs à deux individus

---

$$\alpha(\cdot) = aX_L, \quad \beta(\cdot) = b$$

$$\begin{cases} \dot{S} &= D_S(S_{in} - S) - \mu_L(S)X_L - \mu_A(S)X_A \\ \dot{X}_L &= (\mu_L(S) - D_L)X_L - aX_L^2 + bX_A \\ \dot{X}_A &= (\mu_A(S) - D_A)X_A + aX_L^2 - bX_A \end{cases}$$

- $\mu_A(S) = 0$  : Haegeman et Rapaport (JBD, 2008)
- $\mu_A(S) < \mu_L(S)$  : Fekih-Salem, Rapaport, Sari

# Flocs indifférenciés

---

$$\alpha(\cdot) = a(X_L + X_A), \quad \beta(\cdot) = b$$

$$\left\{ \begin{array}{l} \dot{S} = D_S(S_{in} - S) - \mu_L(S)X_L - \mu_A(S)X_A \\ \dot{X}_L = (\mu_L(S) - D_L)X_L \\ \quad - a(X_L + X_A)X_L + bX_A \\ \dot{X}_A = (\mu_A(S) - D_A)X_A \\ \quad + a(X_L + X_A)X_L - bX_A \end{array} \right.$$

- C'est l'objet de notre étude. Les détails seront donnés plus tard

# Modèle général

---

$$\left\{ \begin{array}{l} \dot{S} = D_S(S_{in} - S) - \mu_L(S)X_L - \mu_A(S)X_A \\ \dot{X}_L = (\mu_L(S) - D_L)X_L \\ \quad - \alpha(S, X_A, X_L)X_L + \beta(S, X_A, X_L)X_A \\ \dot{X}_A = (\mu_A(S) - D_A)X_A \\ \quad + \alpha(S, X_A, X_L)X_L - \beta(S, X_A, X_L)X_A \end{array} \right.$$

# Dynamique réduite

---

Si on suppose que  $\alpha(\cdot)$  et  $\beta(\cdot)$  sont “grands”, alors la biomasse totale  $X = X_L + X_A$  est donnée par

$$\begin{cases} \dot{S} = D_S(S_{in} - S) - \mu(S, X)X \\ \dot{X} = [\mu(S, X) - D(S, X)]X \end{cases}$$

avec

$$\mu(S, X) = p(S, X)\mu_L(S) + (1 - p(S, X))\mu_A(S),$$

$$D(S, X) = p(S, X)D_L + (1 - p(S, X))D_A.$$

où  $p(S, X)$  dépend des fonctions  $\alpha(\cdot)$  et  $\beta(\cdot)$



# Deux échelles de temps

---

$$\begin{cases} \dot{S} &= D_S(S_{in} - S) - \mu_L(S)X_L - \mu_A(S)X_A \\ \dot{X}_L &= (\mu_L(S) - D_L)X_L - \alpha(\cdot)X_L + \beta(\cdot)X_A \\ \dot{X}_A &= (\mu_A(S) - D_A)X_A + \alpha(\cdot)X_L - \beta(\cdot)X_A \end{cases}$$

$$\dot{X} = (\mu_L(S) - D_L)X_L + (\mu_A(S) - D_A)X_A$$

où  $X = X_L + X_A$  est la biomasse totale.

- Les équations de  $X_L$  et  $X_A$  sont rapides,
- celles de  $S$  et de  $X = X_L + X_A$  sont lentes
- On fait comme si  $\dot{X}_L = 0$  et  $\dot{X}_A = 0$

# Etat quasi-stationnaire

---

$$\alpha(S, X_L, X_A)X_L = \beta(S, X_L, X_A)X_A,$$

$$X_L + X_A = X$$

On écrit la solution sous la forme

$$X_L = p(S, X)X, \quad X_A = (1 - p(S, X))X$$

que l'on remplace dans les équations de  $S$  et de  $X$  pour trouver

$$\begin{cases} \dot{S} = D_S(S_{in} - S) - \mu(S, X)X \\ \dot{X} = [\mu(S, X) - D(S, X)] X \end{cases}$$

# Exemples

---

- Flocs à deux individus :

$$\alpha(\cdot) = \frac{a}{\varepsilon} X_L, \quad \beta(\cdot) = \frac{b}{\varepsilon}$$

$$p(X) = \frac{2}{1 + \sqrt{1 + 4a/bX}}$$

- Flocs indifférenciés :

$$\alpha(\cdot) = \frac{a}{\varepsilon} X, \quad \beta(\cdot) = \frac{b}{\varepsilon}$$

$$p(X) = \frac{b}{b + aX}$$

# Modèle réduit

---

$$\begin{cases} \dot{S} = D_S(S_{in} - S) - \mu(S, X)X \\ \dot{X} = [\mu(S, X) - D(X)]X \end{cases}$$

$$\mu(S, X) = p(X)\mu_L(S) + (1 - p(X))\mu_A(S),$$

$$D(X) = p(X)D_L + (1 - p(X))D_A.$$

- $\mu_L(S)$  et  $\mu_A(S)$  croissantes et  $\mu_L(S) \geq \mu_A(S)$
- $D_L \geq D_A$  (on peut prendre  $D_L = D_S$ ).
- $0 \leq p(X) \leq 1$ ,  $p(0) = 1$ ,  $p(\infty) = 0$ ,  $p'(X) < 0$ .

# Les équilibres

---

$$\begin{cases} D_S(S_{in} - S) - \mu(S, X)X = 0 \\ [\mu(S, X) - D(X)] X = 0 \end{cases}$$

- Si  $X = 0$  alors  $S = S_{in}$ :  $E_0 = (S_{in}, 0)$ .
- Si  $\mu(S, X) = D(X)$ , alors  $D_S(S_{in} - S) = XD(X)$ . On obtient

$$S = G(X) := S_{in} - \frac{XD(X)}{D_S}.$$

La fonction  $G(X)$  est décroissante.

# Les équilibres

---

## Notons

$$\lambda_L = \mu_L^{-1}(D_L), \quad \lambda_A = \mu_A^{-1}(D_A).$$

- L'équation  $\mu(S, X) = D(X)$  définit  $S = F(X)$  telle que  $F(0) = \lambda_L$  et  $F(\infty) = \lambda_A$ .
- Si  $\lambda_L < \lambda_A$  la fonction  $F$  est croissante.
- Si  $\lambda_L < S_{in}$ , alors il y a un unique équilibre positif. Il est stable.
- Si  $\lambda_L > S_{in}$ , alors il n'y a pas d'équilibre positif.

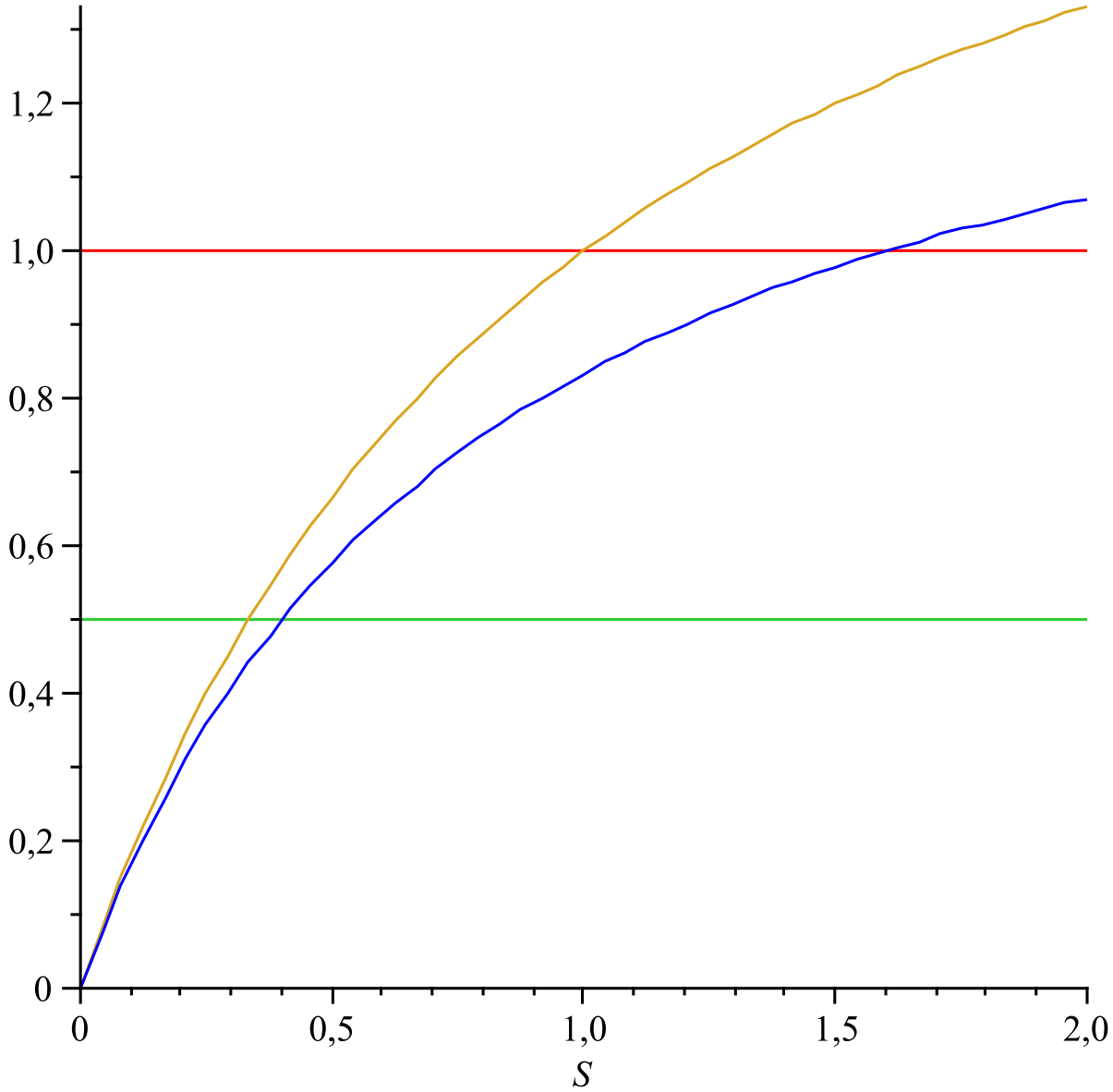
# Les équilibres

---

- Si  $\lambda_L > \lambda_A$  la fonction  $F$  est décroissante.
- Si  $\lambda_L < S_{in}$ , alors il y a au moins un équilibre positif. Il peut y avoir un nombre impaire. Ils sont alternativement stables et instables.
- Si  $\lambda_L > S_{in}$ , alors il peut y avoir 0 ou un nombre paire d'équilibres positifs. Ils sont alternativement stables et instables.
- La présence de biomasse agrégée peut empêcher le lessivage car l'attachement des floes ( $D_A \leq D_L$ ) vient compenser la croissance moins forte ( $\mu_A(S) \leq \mu_L(S)$ ).

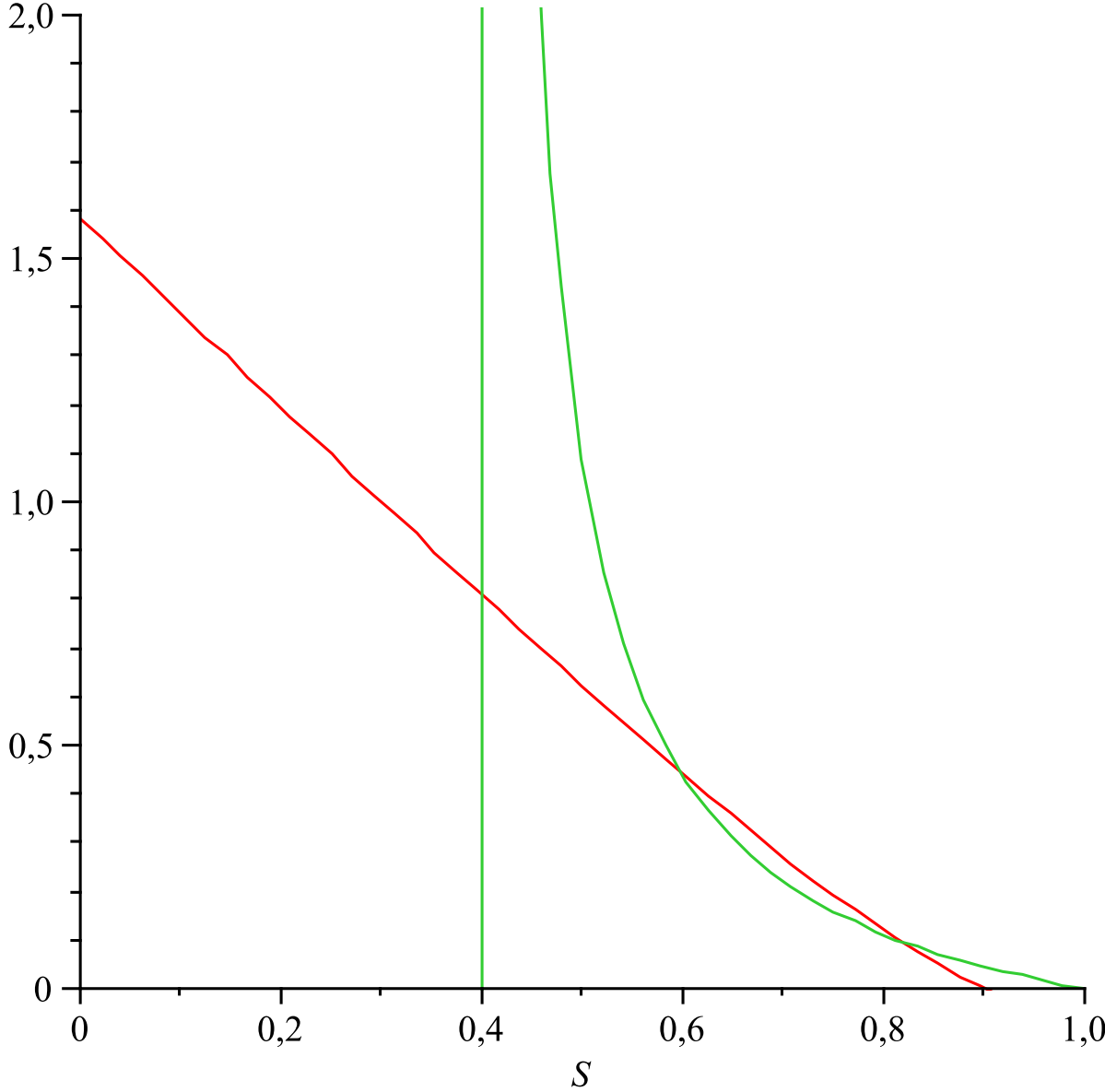
# Simulations numériques

---

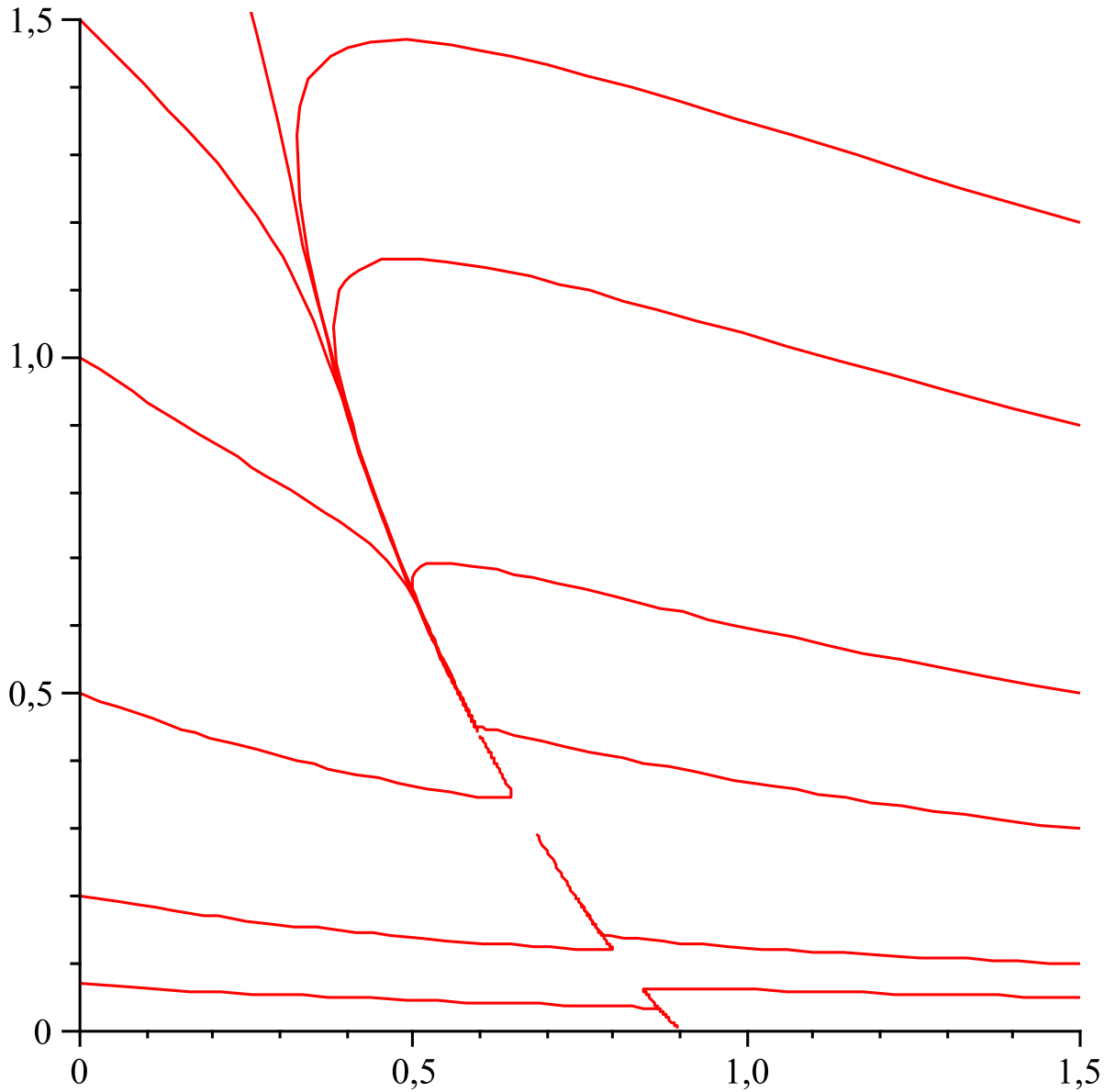




# Simulations numériques



# Simulations numériques



# La compétition dans le chemostat

---

$$\begin{cases} S' &= D(S_{in} - S) - \mu_1(S)X_1 - \mu_2(S)X_2 \\ X_1' &= (\mu_1(S) - D)X_1 \\ X_2' &= (\mu_2(S) - D)X_2 \end{cases}$$

- Break-even concentrations :  $\lambda_i = \mu_i^{-1}(D)$
- $E_0 = (S = S_{in}, X_1 = 0, x_2 = 0)$
- $E_1 = (S = \lambda_1, X_1 = S_{in} - \lambda_1, X_2 = 0)$
- $E_2 = (S = \lambda_2, X_1 = 0, X_2 = S_{in} - \lambda_2)$
- If  $\lambda_1 < \lambda_2$  then  $E_1$  is stable and  $E_0$  and  $E_2$  are unstable

# The Competitive Exclusion Principle

---

- If  $\lambda_1 < \lambda_2$  then  $E_1 = (\lambda_1, S_{in} - \lambda_1, 0)$  is a globally asymptotically stable (GAS) equilibrium.
- The solutions with positive initial conditions converge to

$$S = \lambda_1, \quad X_1 = S_{in} - \lambda_1, \quad X_2 = 0$$

- At equilibrium  $E_1$  the species  $X_2$  is excluded
- the CEP is in contradiction with the observations
- The mathematical model is not good : find mechanisms that explain the coexistence

# Flocculation of two species

---

- Each species is present in two forms: isolated bacteria, of density  $X_{Li}$ , and bacteria in flocks, of density  $X_{Ai}$ , for  $i = 1, 2$ .
- Isolated bacteria can stick with isolated bacteria with flocks to form new flocks, with rate  $\alpha_i(\cdot)X_{Li}$ .
- Flocks can split and liberate isolated bacteria with rate  $\beta_i(\cdot)X_{Ai}$ .

$$X_{L1} \xrightarrow{\alpha_1(\cdot)X_{L1}} X_{A1},$$

$$X_{L1} \xleftarrow{\beta_1(\cdot)X_{A1}} X_{A1},$$

$$X_{L2} \xrightarrow{\alpha_2(\cdot)X_{L2}} X_{A2},$$

$$X_{L2} \xleftarrow{\beta_2(\cdot)X_{A2}} X_{A2}.$$

# Flocculation of two species

---

$$\left\{ \begin{array}{l} \dot{S} = D(S_{in} - S) - \mu_{L1}(S)X_{L1} - \mu_{A1}(S)X_{A1} \\ \quad \quad \quad - \mu_{L2}(S)X_{L2} - \mu_{A2}(S)X_{A2} \\ \dot{X}_{L1} = (\mu_{L1}(S) - D)X_{L1} - \alpha_1(\cdot)X_{L1} + \beta_1(\cdot)X_{A1} \\ \dot{X}_{L2} = (\mu_{L2}(S) - D)X_{L2} - \alpha_2(\cdot)X_{L2} + \beta_2(\cdot)X_{A2} \\ \dot{X}_{A1} = (\mu_{A1}(S) - D_1)X_{A1} + \alpha_1(\cdot)X_{L1} - \beta_1(\cdot)X_{A1} \\ \dot{X}_{A2} = (\mu_{A2}(S) - D_2)X_{A2} + \alpha_2(\cdot)X_{L2} - \beta_2(\cdot)X_{A2} \end{array} \right.$$

$$\alpha_i(\cdot) = \frac{a_{i1}X_1 + a_{i2}X_2}{\varepsilon}, \quad \beta_i(\cdot) = \frac{b_i}{\varepsilon},$$

where  $a_{ij}$  and  $b_i$  are positive constants and  $X_i = X_{Li} + X_{Ai}$ ,  $i = 1, 2$ .

# Modèle réduit

---

$$\begin{aligned}\dot{S} &= D(S_{in} - S) - \mu_1(S, X_1, X_2)X_1 - \mu_2(S, X_1, X_2)X_2 \\ \dot{X}_1 &= [\mu_1(S, X_1, X_2) - D_1(X_1, X_2)] X_1 \\ \dot{X}_2 &= [\mu_2(S, X_1, X_2) - D_2(X_1, X_2)] X_2\end{aligned}$$

Avec

$$\mu_i(S, X_1, X_2) = \mu_{Li}(S)g_i(X_1, X_2) + \mu_{Ai}(S)(1 - g_i(X_1, X_2))$$

$$D_i(X_1, X_2) = Dg_i(X_1, X_2) + D_i(1 - g_i(X_1, X_2))$$

et

$$g_i(X_1, X_2) = \frac{b_i}{b_i + a_{i1}X_1 + a_{i2}X_2}$$

# References

---

B. HAEGEMAN, C. LOBRY, J. HARMAND, Modelling Bacteria Flocculation as Density-Dependent Growth, *AIChE* (2007) 53(2):535-539.

B. HAEGEMAN, A. RAPAPORT, How flocculation can explain coexistence in the chemostat. *J. Biol. Dyn.* 2 (2008), no. 1, 1–13.

J. HARMAND, C. LOBRY, A. RAPAPORT, T. SARI, La modélisation de la flocculation *en préparation*.

C. LOBRY AND J. HARMAND, A new hypothesis to explain the coexistence of  $n$  species in the presence of a single resource, *C. R. Biologies*, vol. 329 (2006), pp. 40-46.

R. FEKIH-SALEM, travail en cours